

## (Ba, Sr)TiO<sub>3</sub> 습식 직접 합성법

이경희 · 이병하 · 김준수  
명지대학교 공과대학 요업공학과  
(1985년 11월 25일 접수)

### A Study of (Ba, Sr)TiO<sub>3</sub> Synthesis by Direct Wet Process

Kyong-Hee Lee, Byung-Ha Lee and Joon-Soo Kim

Dept. of Ceramic Eng. Myong Ji Univ.

(Received 25 November, 1985)

#### ABSTRACT

This study is aimed at synthesizing high dielectric material, (Ba, Sr)TiO<sub>3</sub> through direct wet process.

Pure and ultra fine particle of (Ba, Sr)TiO<sub>3</sub> Powder was synthesized from BaCl<sub>2</sub>, SrCl<sub>2</sub> and TiCl<sub>4</sub> aqueous solution at KOH Solution in the N<sub>2</sub> gas atmosphere.

BaCl<sub>2</sub>, SrCl<sub>2</sub> and TiCl<sub>4</sub> were Mixed with the mole ratio of 1 : 9 : 10, 3 : 7 : 10, 5 : 5 : 10, 7 : 3 : 10, 9 : 1 : 10 and synthesized at 40°C~90°C for 10min~15hrs.

The particle size, particle shape, crystallinity and synthesis condition of (Ba, Sr)TiO<sub>3</sub> powder with the variation of temperature and reaction time in the aqueous solution studied by the experimental instruments of DTA, TGA, X-ray diffractometer, SEM.

#### 1. 서 론

Ceramics Capacitor 재료는 perovskite 결정 화합물이 주축을 이루고 있는데, 이중 고유전율 Capacitor, transducer, thermistor 등에 널리 이용되고 있는 (Ba, Sr)TiO<sub>3</sub>를 대상으로 하여 그 합성방법을 연구 하고자 하였다.

BaTiO<sub>3</sub>와 SrTiO<sub>3</sub>는 전형적인 perovskite 구조를 가지는 물질로서 결정구조가 같고 Ba<sup>2+</sup> 이온과 Sr<sup>2+</sup> 이온의 이온반경이 1.34Å, 1.12Å 으로서 이온반경의 차이가 15% 이내 이며, 모든 전하가 전기적 중성을 유지한다. 따라서 전 조성범위에서 Ba<sup>2+</sup> 이온과 Sr<sup>2+</sup> 이온은 이온확산에 의하고 완전고용체를 형성 할 수 있다<sup>1), 2), 3)</sup>.

지금까지 알려진 (Ba, Sr)TiO<sub>3</sub>의 합성법으로는 분말혼합체를 사용한 고상반응법이 있는데 이 방법은 1300°C 이상의 고온이 필요하며 임계제어가 어렵다.

따라서 본 실험에서 습식 직접 합성법으로 상온에서 90°C의 온도범위에서 BaTiO<sub>3</sub><sup>4)</sup>와 SrTiO<sub>3</sub><sup>5), 6)</sup>를 수율 좋게 합성하는데 성공한 것을 기초로 하여서 미립이며 임계제어가 용이한 (Ba, Sr)TiO<sub>3</sub> 분말의 재현성있는 합성법을 개발하고자 하는데 그 목적을 두었다.

#### 2. 실험방법

본 실험의 출발원료로는 BaCl<sub>2</sub>, SrCl<sub>2</sub> 및 TiCl<sub>4</sub> 수용액을 사용하였으며 침전제로는 KOH 수용액을 사용하였다. BaCl<sub>2</sub>는 Junsei Chemical Co.의 특급시약 SrCl<sub>2</sub>는 Merck Co.의 특급시약 TiCl<sub>4</sub>는 Kanto Co.의 특급시약을 그리고 KOH는 Tokyo Ohka Kogyo Co.의 특급시약을 사용하였다.

(Ba<sub>2</sub>Sr<sub>1-x</sub>)TiO<sub>3</sub> 합성은 Table 1과 같은 조건으로 행하였다. 먼저 일정량의 KOH를 삼구플라스크에 넣고 질소가스 분위기에서 일정온도로 유지한 후 일정량의 TiCl<sub>4</sub>와 BaCl<sub>2</sub>, SrCl<sub>2</sub> 수용액을 넣어 합성하였다. 일정

Table 1. Condition of  $(\text{Ba}_x\text{Sr}_{1-x})\text{TiO}_3$  Synthesis.

Temp	Ba : Sr mol ratio	Reaction Time																	
		10m.	30m.	1h	2h.	3h.	4h.	5h.	6h.	7h.	8h.	9h.	10h.	11h.	12h.	13h.	14h.	15h.	
90°C	$(\text{Ba}_{1-x}\text{Sr}_x)\text{TiO}_3$	10m.	30m.	1h	2h.														
80°C	$(\text{Ba}_{1-x}\text{Sr}_x)\text{TiO}_3$	10m.	30m.	1h	2h.	3h.	4h.												
60°C	$(\text{Ba}_x\text{Sr}_{1-x})\text{TiO}_3$	10m.	30m.	1h.	2h.	3h.	4h.	5h.	6h.	7h.	8h.	9h.	10h.	11h.	12h.	13h.	14h.	15h.	
40°C	$(\text{Ba}_x\text{Sr}_{1-x})\text{TiO}_3$	10m.	30m.	1h.	2h.	3h.	4h.	4h.	6h.	7h.	8h.	9h.	10h.	11h.	12h.	13h.	14h.	15h.	

\*  $X=0.9, 0.7, 0.5, 0.3, 0.1$

온도에서 일정시간 합성한 침전물을 뜨거운 증류수로 염소이온이 검출되지 않을때 까지 여과 수세한 후 진공건조를 시켜 DT, TG 분석, X선 회절분석, SEM 관찰을 행하였다.

합성된  $(\text{Ba}_x\text{Sr}_{1-x})\text{TiO}_3$  미분말의 소결성을 측정하기 위하여 합성시료에 2 wt%의 PVA를 넣고 혼합 건조하여 60mesh 하로 조립화 하였다. 이 분말을  $200\text{kg}/\text{cm}^2$ 의 압력으로 직경 15mm 두께 1.5mm의 원판형시편을 1차 성형하고 이를 다시 Isostatic press를 사용하여  $500\text{kg}/\text{cm}^2$ 의 압력으로 2차 성형하였다. 이와 같이 성형된 시편을 건조기에서 완전 건조시킨후 Siliconit 전기로에 넣어  $350^\circ\text{C}/\text{h}$ 의 승온속도로  $1150^\circ\text{C} \sim 1240^\circ\text{C}$ 까지 승온시켜  $1150^\circ\text{C}$ ,  $1180^\circ\text{C}$ ,  $1210^\circ\text{C}$  및  $1240^\circ\text{C}$ 에서 각각 2시간 유지한 후 로내에서 자연냉각하였다. 이 소결시편을 사용하여 절보기 밀도를 구하였다.

### 3. 결과 및 고찰

#### 3.1 DT, TG 분석

Fig. 1은 KOH 수용액에 일정량의  $\text{TiCl}_4$ 와  $\text{BaCl}_2$ ,  $\text{SrCl}_2$  수용액을 넣어 상온에서 10분간 합성한  $(\text{Ba}_x\text{Sr}_{1-x})\text{TiO}_3$  gel에 대한 DT, TG 분석 결과이다. 그림으로부터  $100^\circ\text{C}$  부근에서 흡열 peak는 흡착수탈수에 의한 peak이며  $750^\circ\text{C}$  부근의 발열 peak는  $(\text{Ba}_x\text{Sr}_{1-x})\text{TiO}_3$ 의 결정성 peak이다.

Fig. 2는 X선 회절분석 및 yield check로서  $(\text{Ba}_x\text{Sr}_{1-x})\text{TiO}_3$ 의 합성이 완료된,  $80^\circ\text{C}$ 에서 4시간 합성하여 얻은 시료에 대한 DT, TG 분석 결과이다.

그 결과  $100^\circ\text{C}$  부근에서 흡착수 탈수에 의한 peak만이 존재하였고 그외의 peak는 존재하지 않았다. 따라서 Ba : Sr mole 비에 관계없이 합성물내에서는 미반응 물질이 존재하지 않음을 알 수 있었다.

#### 3.2 X선 회절분석

Fig. 3, Fig 4, Fig 5, Fig. 6은  $\text{TiCl}_4$ ,  $\text{BaCl}_2$ ,

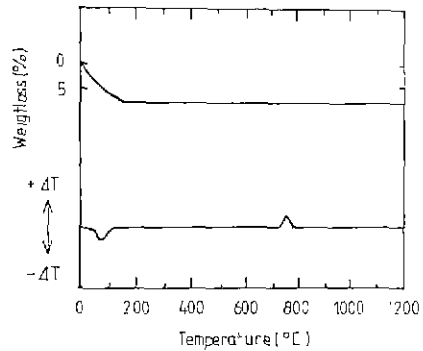


Fig. 1. DT, TG curves of  $(\text{Ba}_x\text{Sr}_{1-x})\text{TiO}_3$  synthesis at room temperature for 10min.

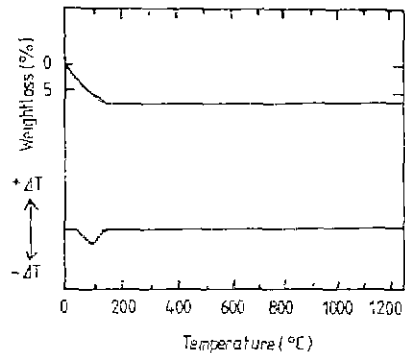


Fig. 2. DT, TG curves of  $(\text{Ba}_x\text{Sr}_{1-x})\text{TiO}_3$  synthesis at  $80^\circ\text{C}$  for 4hrs.

$\text{SrCl}_2$  수용액을 사용하여  $\text{CO}_2$  gas 차단하에서 Table 1의 조건으로  $(\text{Ba}_x\text{Sr}_{1-x})\text{TiO}_3$ 을 합성하였을 경우 합성한 분말에 대한 X선 회절분석 결과이다.

Fig. 3과 Fig. 4는 각각  $90^\circ\text{C}$  및  $80^\circ\text{C}$ 에서 일정시간(10분~4시간)동안 합성한  $(\text{Ba}_x\text{Sr}_{1-x})\text{TiO}_3$ 의 X선 회절분석 결과이다. 그림에서 나타남과 같이 반응

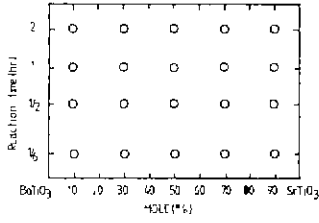


Fig. 3. (Ba<sub>x</sub>Sr<sub>1-x</sub>)TiO<sub>3</sub> synthesis condition at 90°C  
O = (Ba, Sr)TiO<sub>3</sub>

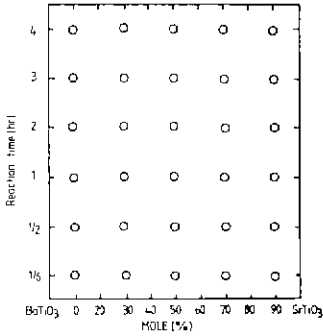


Fig. 4. (Ba<sub>x</sub>Sr<sub>1-x</sub>)TiO<sub>3</sub> synthesis condition at 80°C  
O = (Ba, Sr)TiO<sub>3</sub>

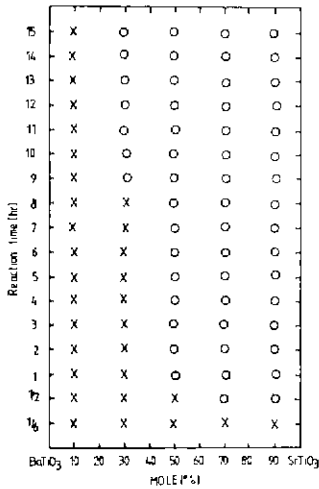


Fig. 5. (Ba<sub>x</sub>Sr<sub>1-x</sub>)TiO<sub>3</sub> synthesis condition at 60°C  
O = (Ba, Sr)TiO<sub>3</sub>

시간과 Ba : Sr의 mole 비에 관계없이 전 실험영역에서 (Ba<sub>x</sub>Sr<sub>1-x</sub>)TiO<sub>3</sub>가 합성됨을 알 수 있었다.

Fig. 5는 60°C에서 일정시간(10분~15시간)동안 합

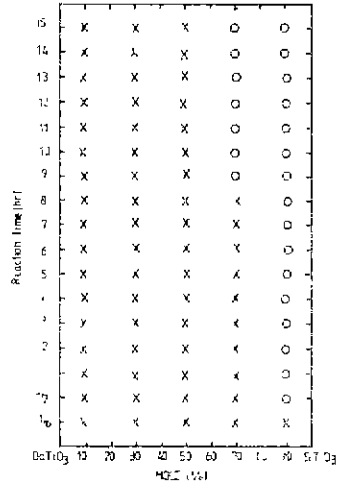


Fig. 6. (Ba<sub>x</sub>Sr<sub>1-x</sub>)TiO<sub>3</sub> synthesis condition at 40°C  
O = (Ba, Sr)TiO<sub>3</sub>

성한 (Ba<sub>x</sub>Sr<sub>1-x</sub>)TiO<sub>3</sub>분말의 X선 회절분석 결과로서 Ba : Sr의 mole 비가 1 : 9, 3 : 7인 경우에는 30분부터 5 : 5인 경우는 1시간부터 그리고 7 : 3인 경우는 9시간부터 (Ba<sub>x</sub>Sr<sub>1-x</sub>)TiO<sub>3</sub>가 합성되었으며, 9 : 1인 경우는 10분부터 15시간까지 행한 실험조건 내에서는 (Ba<sub>0.9</sub>Sr<sub>0.1</sub>)TiO<sub>3</sub>가 합성되지 않음을 알 수 있었다.

Fig. 6은 40°C에서 일정시간(10분~15시간)동안 합

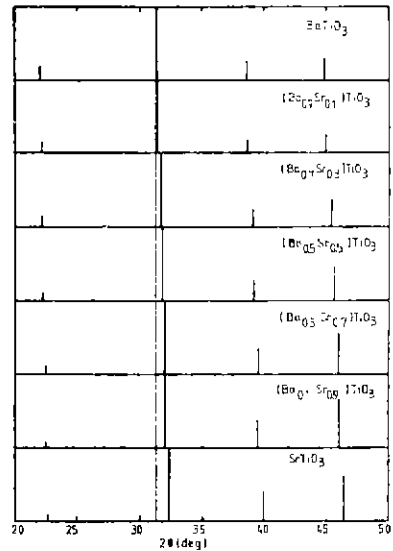


Fig. 7. X-ray diffraction patterns of synthesised (Ba<sub>x</sub>, Sr<sub>1-x</sub>)TiO<sub>3</sub> at 80°C for 4 hrs.

성한  $(Ba_xSr_{1-x})TiO_3$  분말의 X선 회절분석 결과이다. Ba : Sr의 mole 비가 1 : 9인 경우는 30분부터 3 : 7인 경우는 9시간부터  $(Ba_xSr_{1-x})TiO_3$ 가 합성 되었으며 5 : 5, 7 : 3, 9 : 1인 경우에는 본 실험범역에서는  $(Ba_xSr_{1-x})TiO_3$ 가 합성되지 않았다.

Fig. 7은 80°C에서 4시간 합성한  $(Ba_xSr_{1-x})TiO_3$  분말의 Ba : Sr mole 비 변화에 따른 X선 회절분석 결과이다. 그림에서 나타난  $BaTiO_3$ 와  $SrTiO_3$ 의 X선 회절분석도는 본 습식 직접 합성법으로 합성한 시료에 대한 분석결과이다. 일정한 온도에서 Sr 양의 증가에 따른  $(Ba_xSr_{1-x})TiO_3$  고용체 peak는  $BaTiO_3$  peak에서  $SrTiO_3$  peak 쪽으로 이동됨을 알 수 있다.

Fig. 8은 Sr 양의 증가에 따른 격자상수의 변화를 나타낸 것이다. 본 실험에서 (211)면을 선택한 이유는  $BaTiO_3$ 와  $SrTiO_3$  사이의  $\Delta 2\theta$ 의 값이 1.5°로 분리가 분명하고  $BaTiO_3$ 의 구조상 나타나는 잔 peak가 적어

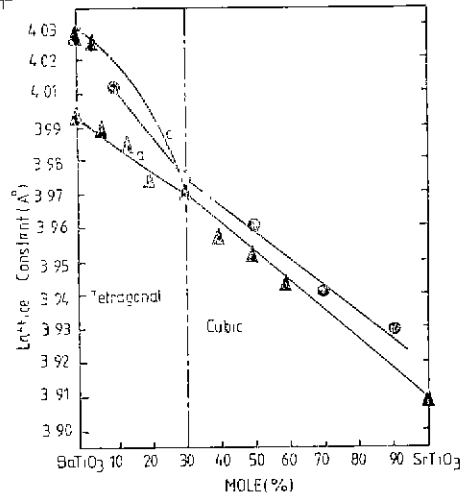
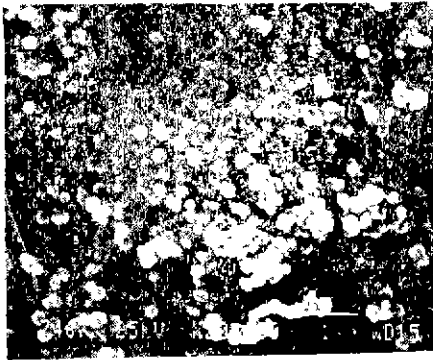
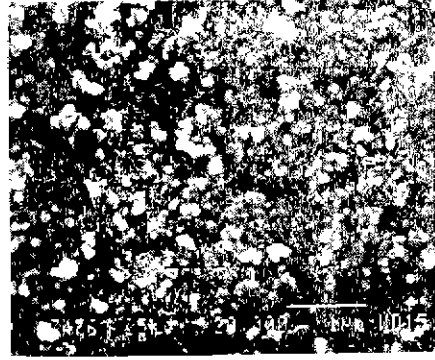


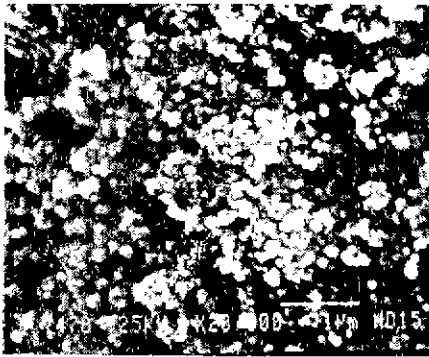
Fig. 8. Change of (211) space lattice constant for  $(Ba_xSr_{1-x})TiO_3$  synthesis at 80°C for 4 hrs  $\blacktriangle$  . by MALCOM McQUARRIE



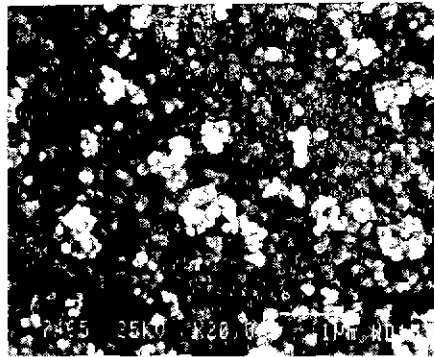
a)  $(Ba_{0.7}Sr_{0.3})TiO_3$



b)  $(Ba_{0.5}Sr_{0.5})TiO_3$

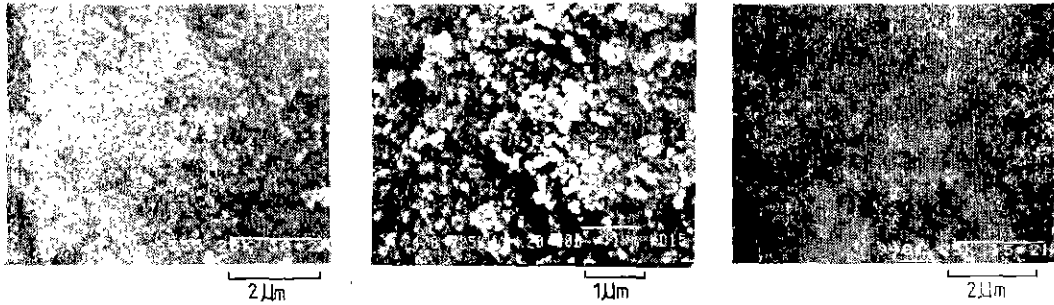


c)  $(Ba_{0.3}Sr_{0.7})TiO_3$



d)  $(Ba_{0.1}Sr_{0.9})TiO_3$

Fig. 9. SEM microphotographs of  $(Ba_xSr_{1-x})TiO_3$  powders prepared at 80°C.



a) at 60°C for 15hrs                      b) at 80°C for 4hrs                      c) at 90°C for 2hrs

Fig. 10. SEM microphotographs of (Ba<sub>0.3</sub>Sr<sub>0.7</sub>)TiO<sub>3</sub> at various working temperature and time

(Ba<sub>x</sub>Sr<sub>1-x</sub>)TiO<sub>3</sub>의 반응을 잘 관찰할 수 있기 때문에 (211)면을 선택하였다<sup>3)</sup>. 그 결과 Sr 양이 증가함에 따라 격자상수가 감소함을 알 수 있다. Malcom Mcquarrie에 의하면 SrTiO<sub>3</sub>의 함량이 30%이상 일때는 Tetragonal에서 Cubic으로 되어 SrTiO<sub>3</sub> 함량이 30%일때 변곡점이 생기는 것으로 보고되고 있다<sup>7)</sup>.

본 연구 결과도 격자상수의 감소경향이나 tetragonal에서 Cubic으로 변곡점이 Malcom Mcquarrie의 결과와 같일치함을 알 수 있다.

### 3.3 SEM 관찰

Fig. 9는 80°C에서 4시간 동안 반응시켜 합성한 (Ba<sub>x</sub>Sr<sub>1-x</sub>)TiO<sub>3</sub>의 SEM 사진이다. 여기에서 Ba : Sr의 mole 비가 7 : 3, 5 : 5, 3 : 7, 1 : 9인 경우 Ba : Sr의 mole 비에 관계없이 구형이었으며 Ba 양 증가 할수록 입경이 증가됨을 알 수 있다.

Fig. 10은 반응완료시간에서의 반응온도 변화에 따른 입경변화를 보기위해 (Ba<sub>0.3</sub>Sr<sub>0.7</sub>)TiO<sub>3</sub>을 택하여 90°C에서 2시간, 80°C에서 4시간, 60°C에서 15시간 합성한 분말의 SEM 사진이다. 90°C에서 2시간 합성한 경우는 0.176µm, 80°C에서 4시간 합성한 경우는 0.112µm. 60°C에서 15시간 합성한 경우는 0.106µm이었다. 이것으로부터 일정한 mole 비에서 합성한 (Ba, Sr)TiO<sub>3</sub>의 평균입경은 합성온도 증가에 따라 적어짐을 알 수 있다.

### 3.4 겔보기 밀도

Fig. 11은 90°C에서 2시간 동안 합성한 (Ba<sub>x</sub>Sr<sub>1-x</sub>)TiO<sub>3</sub> 시료를 사용하여 만든 시편을 1150°C~1240°C에서 각각 2시간 동안 열처리한 후 Ba : Sr mole 비 변화에 따른 겔보기 밀도변화를 나타낸 것이다. BaTiO<sub>3</sub>의 이론밀도는 5.9이고 SrTiO<sub>3</sub>의 이론밀도는 5.1169로 보고 되어져 있다. 본 실험결과에서는 BaTiO<sub>3</sub>에 Sr 양이 증가할수록 밀도가 감소되는 경향을 보이고 있

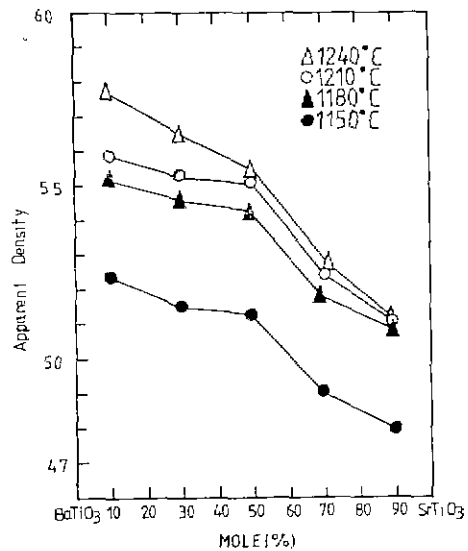


Fig. 11. The apparent density of (Ba, Sr<sub>1-x</sub>)TiO<sub>3</sub> at various sintering temperature.

으며 1240°C에서 소성한 시편의 경우 Ba : Sr mole 비에 관계없이 이론밀도의 90% 이상을 나타냄을 알 수 있다. 따라서 본 합성법으로 합성한 분말은 고상반응법으로 합성한 분말보다 이소결성 분말임을 알 수 있다.

## 4. 결 론

습식 직접 합성법을 써서 (Ba<sub>x</sub>Sr<sub>1-x</sub>)TiO<sub>3</sub>를 합성할 경우

- 1) 90°C와 80°C의 경우는 Ba : Sr의 mole 비에 관계없이 10분부터 (Ba, Sr)TiO<sub>3</sub>가 합성되었으며
- 2) 60°C의 경우는 Ba : Sr의 mole 비가 1 : 9, 3 : 7 일때는 30분, 5 : 5일때는 1시간, 7 : 3일때는 9시간

부터 (Ba, Sr)TiO<sub>3</sub>가 합성되었다. 그러나 9:1일때는 본 실험 영역내에서는 (Ba, Sr)TiO<sub>3</sub>가 합성되지 않았다.

3) 40°C의 경우는 Ba: Sr의 mole 비가 1:9일때는 30분, 3:7일때는 9시간부터 (Ba, Sr)TiO<sub>3</sub>가 합성되었으며 5:5, 7:3, 9:1일때는 본 실험 영역내에서는 (Ba, Sr)TiO<sub>3</sub>가 합성되지 않았다.

Reference

- 1) J. A. Basmajian and R. C. DeVries, "Phase Equilibria in the System BaTiO<sub>3</sub>-SrTiO<sub>3</sub>," *J. Am. Ceram. Soc.*, **40**(11), 373~376 (1957).
- 2) G. Durst, M. Grotenhuis and A. G. Barkow, "Solid Solubility of Barium, Strontium and Calcium Titanates," *J. Am. Ceram. Soc.*, **33**(4), 133-139 (1950).
- 3) Shouchiro Nomura, "Solid State Relation between Barium Titanate and Strontium Titanate", *J. Phys. Soc. Japan* **11**(9), 924-929 (1956).
- 4) 이정희, 이병하, 이희승, "BaTiO<sub>3</sub>의 습식 직접 합성법 (I)" 한국요업학회지 **21**(4), 63-66 (1984).
- 5) 이종근, 이정희, 이병하, "SrTiO<sub>3</sub>의 습식합성법", 한국요업학회지 **21**(2), 165-173 (1984).
- 6) 이정희, 이병하, 김준수, "SrTiO<sub>3</sub> 습식직접합성법" 한국요업학회지 **22**(1), 19-23 (1985).
- 7) Malcom McQuarrie, "Structural Behavior in the System (Ba, Ca, Sr)TiO<sub>3</sub> and Its Relation to certain Dielectric Characteristics," *J. Am. Ceram. Soc.*, **38**(12), 444-447 (1955).